

ТЕОРЕТИКО-ГРУППОВОЕ ОПИСАНИЕ ПЕРИОДИЧЕСКОЙ СИСТЕМЫ ЭЛЕМЕНТОВ. V: ВЕСОВАЯ ДИАГРАММА

В.В. Варламов

д.ф.-м.н., e-mail: varlamov@subsiu.ru

Сибирский государственный индустриальный университет, Новокузнецк, Россия

Аннотация. Анализируется корневая структура подалгебр групповой алгебры конформной группы в рамках двулистного накрытия. На основе проведённого анализа определяется базис Картана–Вейля групповой алгебры. Строятся корневая и весовая диаграммы. Вводится массовая формула, ассоциированная с каждым узлом весовой диаграммы.

Ключевые слова: конформная группа, групповая алгебра, группа Лоренца, подалгебра Картана, генераторы Вейля, корневая структура, весовая диаграмма, массовая формула.

1. Введение

В настоящей статье, являющейся продолжением серии работ [1–5], завершается изучение структуры групповой алгебры $\mathfrak{so}(4, 2)$ конформной группы $SO(4, 2)$, начатое в статье [5].

Несмотря на то, что структура алгебры $\mathfrak{so}(4, 2)$, соответствующей типу A_3 по классификации Киллинга–Картана, хорошо изучена (см. [6, 7]), в настоящем исследовании делается акцент на физическом приложении общих алгебраических методов к изучению периодической системы химических элементов. В связи с этим, исходным пунктом исследования является водородная реализация алгебры $\mathfrak{so}(4, 2)$, т. е. представление Барута [8], рассмотренное в [5]. Далее представление Барута формулируется в базисе Яо [9] для группы $SU(2, 2)$, являющейся двулистным накрытием конформной группы $SO(4, 2)$. В п. 2 рассматривается подалгебра $\mathfrak{so}(3, 1) \simeq \mathfrak{sl}(2, \mathbb{C})$, соответствующая физической важной подгруппе (группа Лоренца) $SO(3, 1) \subset SO(4, 2)$. Для алгебры $\mathfrak{sl}(2, \mathbb{C})$ определяется подалгебра Картана, базис Картана–Вейля, а также строятся корневая и весовая диаграммы. Приводится массовая формула, непосредственно связанная с каждым узлом весовой диаграммы. Аналогичное рассмотрение для подалгебр $\mathfrak{so}(4)$ и $\mathfrak{so}(2, 2)$ проводится в п. 3 и 4. По результатам проведённого анализа корневой структуры подалгебр ($\mathfrak{sl}(2, \mathbb{C})$, $\mathfrak{so}(4)$ и $\mathfrak{so}(2, 2)$) в п. 5 строится корневая диаграмма алгебры Ли $\mathfrak{so}(4, 2)$. Весовая диаграмма ($SO(4, 2)$ -башня) алгебры $\mathfrak{so}(4, 2)$ определяется в п. 6. Показывается, что весовые диаграммы алгебр Ли второго ранга $\mathfrak{so}(4)$ и $\mathfrak{so}(2, 2)$ являются проекциями $SO(4, 2)$ -башни на координатные плоскости, образованные генераторами Картана алгебры $\mathfrak{so}(4, 2)$. Приводится массовая формула, непосредственно связанная с каждым узлом $SO(4, 2)$ -башни.

2. Подалгебра $\mathfrak{so}(3, 1)$

Подгруппа Лоренца $SO(3, 1)$ в рамках конформной группы $SO(4, 2)$ в представлении Барута (см. пп. 3.1 в [5]) может быть образована двумя группами генераторов: $L_1, L_2, L_3, B_1, B_2, B_3$ или $L_1, L_2, L_3, \Gamma_1, \Gamma_2, \Gamma_3$. Возьмём первую группу. Коммутационные соотношения имеют вид

$$\left. \begin{aligned} [L_1, L_2] &= -iL_3, & [L_2, L_3] &= -iL_1, & [L_3, L_1] &= -iL_2, \\ [B_1, B_2] &= iL_3, & [B_2, B_3] &= iL_1, & [B_3, B_1] &= iL_2, \\ [L_1, B_1] &= 0, & [L_2, B_2] &= 0, & [L_3, B_3] &= 0, \\ [L_1, B_2] &= -iB_3, & [L_1, B_3] &= iB_2, \\ [L_2, B_3] &= -iB_1, & [L_2, B_1] &= iB_3, \\ [L_3, B_1] &= -iB_2, & [L_3, B_2] &= iB_1. \end{aligned} \right\} \quad (1)$$

Генераторы \mathbf{L} и \mathbf{B} образуют базис алгебры Ли $\mathfrak{so}(3, 1) \simeq \mathfrak{sl}(2, \mathbb{C})$.

Введём следующие линейные комбинации:

$$\mathbf{X} = \frac{1}{2}(\mathbf{L} + i\mathbf{B}), \quad \mathbf{Y} = \frac{1}{2}(\mathbf{L} - i\mathbf{B}). \quad (2)$$

Тогда

$$\begin{aligned} [X_1, X_2] &= -iX_3, & [X_2, X_3] &= -iX_1, & [X_3, X_1] &= -iX_2, \\ [Y_1, Y_2] &= -iY_3, & [Y_2, Y_3] &= -iY_1, & [Y_3, Y_1] &= -iY_2, \\ [\mathbf{X}, \mathbf{Y}] &= 0. \end{aligned}$$

Отсюда следует, что генераторы \mathbf{X} и \mathbf{Y} образуют базисы двух независимых алгебр $\mathfrak{so}(3)$. Таким образом, алгебра Ли $\mathfrak{sl}(2, \mathbb{C})$ группы $SL(2, \mathbb{C})$ изоморфна прямой сумме (так называемый «унитарный трюк» Вейля, см. [10, p. 28])

$$\mathfrak{sl}(2, \mathbb{C}) \simeq \mathfrak{su}(2) \oplus i\mathfrak{su}(2). \quad (3)$$

Определим теперь подалгебру Картана \mathfrak{K} и соответствующую диаграмму Вейля для алгебры Ли $\mathfrak{sl}(2, \mathbb{C})$. С этой целью необходимо перейти от базиса комплексной оболочки $\{X_1, X_2, X_3, Y_1, Y_2, Y_3\}$ к базису Картана–Вейля. Первым шагом является определение максимального подмножества взаимно коммутирующих генераторов алгебры $\mathfrak{sl}(2, \mathbb{C})$. Поскольку в прямой сумме (3) каждая подалгебра $\mathfrak{su}(2)$ является алгеброй Ли ранга 1, то естественно ожидать, что алгебра $\mathfrak{sl}(2, \mathbb{C})$ содержит не более двух коммутирующих генераторов. Из девяти возможных пар коммутирующих генераторов $\{X_i, Y_j\}$ ($i, j = 1, 2, 3$) выберем пару $\{X_3, Y_3\}$, удовлетворяющую условию $[\mathbf{H}_i, \mathbf{H}_j] = 0$ (см. формулу (1) в [5]), т. е.

$$[X_3, Y_3] = 0. \quad (4)$$

Множество $\{X_3, Y_3\}$ образует подалгебру Картана $\mathfrak{K} \subset \mathfrak{sl}(2, \mathbb{C})$. X_3 и Y_3 – генераторы Картана, а размерность подалгебры \mathfrak{K} , равная 2, определяет ранг алгебры Ли $\mathfrak{sl}(2, \mathbb{C})$.

Далее, с целью определить *генераторы Вейля* из оставшихся генераторов X_1, X_2, Y_1, Y_2 образуем следующие линейные комбинации (*повышающие* и *понижающие* операторы):

$$\left. \begin{aligned} X_+ &= X_1 + iX_2, & X_- &= X_1 - iX_2, \\ Y_+ &= Y_1 + iY_2, & Y_- &= Y_1 - iY_2. \end{aligned} \right\} \quad (5)$$

Четыре генератора Вейля (5), наряду с двумя генераторами Картана X_3 и Y_3 , составляют *базис Картана–Вейля* алгебры $\mathfrak{sl}(2, \mathbb{C})$:

$$\{X_3, Y_3, X_+, X_-, Y_+, Y_-\}.$$

Генераторы Вейля $\mathbf{E}_\alpha = \{X_\pm, Y_\pm\}$ и генераторы $\mathbf{H}_i = \{X_3, Y_3\}$ подалгебры Картана $\mathfrak{K} \subset \mathfrak{sl}(2, \mathbb{C})$ удовлетворяют перестановочным соотношениям (2) и (3) в [5], где $\forall i, j = 1, 2; \alpha = 1 \rightarrow 4$:

$$[X_3, X_+] = -X_+, \quad [X_3, X_-] = X_-, \quad [X_+, X_-] = -2X_3, \quad (6)$$

$$[Y_3, Y_+] = -Y_+, \quad [Y_3, Y_-] = Y_-, \quad [Y_+, Y_-] = -2Y_3. \quad (7)$$

В этом случае коммутатор $[\mathbf{E}_\alpha, \mathbf{E}_{-\alpha}] = [X_+, X_-]$ даёт корни ± 2 . Таким образом, в согласии с формулой (4) в [5] имеем четыре различных корня: $\alpha = \pm 1, \pm 2$.

Поскольку $\mathfrak{sl}(2, \mathbb{C})$ является алгеброй Ли ранга 2, то из теоремы Рака (см. [5]) следует, что существуют два независимых *инварианта Казимира* \mathbf{C}_μ , которые коммутируют со всеми генераторами алгебры $\mathfrak{sl}(2, \mathbb{C})$, включая два элемента Картана \mathbf{H}_i :

$$[\mathbf{C}_\mu, \mathbf{H}_i] = 0, \quad \forall \mu = 1 \rightarrow 2; i = 1 \rightarrow 2. \quad (8)$$

Инварианты Казимира для алгебры $\mathfrak{sl}(2, \mathbb{C})$ имеют вид

$$\mathbf{C}_1 \equiv \mathbf{X}^2 = X_1^2 + X_2^2 + X_3^2 = \frac{1}{4} (\mathbf{A}^2 - \mathbf{B}^2 + 2i\mathbf{AB}),$$

$$\mathbf{C}_2 \equiv \mathbf{Y}^2 = Y_1^2 + Y_2^2 + Y_3^2 = \frac{1}{4} (\mathbf{A}^2 - \mathbf{B}^2 - 2i\mathbf{AB}).$$

В рамках комплексной оболочки алгебры $\mathfrak{sl}(2, \mathbb{C})$ эти инварианты, более известные как *операторы Лапласа–Бельтрами*, приводят к дифференциальным уравнениям класса Фукса для гиперсферических функций (см. [11]). Операторы Лапласа–Бельтрами содержат операторы Казимира $\mathbf{A}^2 - \mathbf{B}^2$ и \mathbf{AB} группы Лоренца как части комплекснозначной функции.

В силу (4) и (8) в собственном подпространстве \mathbf{H}_E оператора энергии H определено полное множество состояний, которые одновременно являются собственными состояниями операторов $\mathbf{X}^2, \mathbf{Y}^2, X_3$ и Y_3 . Составим кет-вектор $|l, \dot{l}; m, \dot{m}\rangle$. Следует отметить, что l и \dot{l} не являются квантовыми числами, а только *задают* их, настоящими квантовыми числами, т. е. собственными значениями операторов Казимира \mathbf{X}^2 и \mathbf{Y}^2 , являются $l(l+1)$ и $\dot{l}(\dot{l}+1)$ согласно следующим соотношениям:

$$\mathbf{X}^2 |l, \dot{l}; m, \dot{m}\rangle = l(l+1) |l, \dot{l}; m, \dot{m}\rangle,$$

$$\mathbf{Y}^2 |l, \dot{l}; m, \dot{m}\rangle = \dot{l}(\dot{l}+1) |l, \dot{l}; m, \dot{m}\rangle,$$

где $l, \dot{l} \in \{0, \frac{1}{2}, 1, \frac{3}{2}, \dots\}$. Каждое подпространство H_E имеет размерность $(2l + 1)(2\dot{l} + 1)$, откуда следует, что

$$X_3 \left| l, \dot{l}; m, \dot{m} \right\rangle = m \left| l, \dot{l}; m, \dot{m} \right\rangle, \quad (9)$$

$$Y_3 \left| l, \dot{l}; m, \dot{m} \right\rangle = \dot{m} \left| l, \dot{l}; m, \dot{m} \right\rangle \quad (10)$$

с $m \in \{-l, -l + 1, \dots, l - 1, l\}$ и $\dot{m} \in \{-\dot{l}, -\dot{l} + 1, \dots, \dot{l} - 1, \dot{l}\}$. Собственные значения m и \dot{m} являются весами генераторов Картана X_3 и Y_3 .

В основе построения диаграммы Вейля группы $SL(2, \mathbb{C})$ лежит подалгебра Картана $\mathfrak{K} = \{X_3, Y_3\}$, где генераторы X_3 и Y_3 образуют базис двумерной ортогональной системы координат. На этих диаграммах веса m и \dot{m} используются в качестве координат для построения каждого состояния $SL(2, \mathbb{C})$ -мультиплета в плоскости (X_3, Y_3) , т. е. они образуют компоненты двумерного весового вектора $\mathbf{h} = (m, \dot{m})$, который выходит из начала системы координат до состояния $\left| l, \dot{l}; m, \dot{m} \right\rangle$. Генераторы Вейля $\mathbf{E}_\alpha = \{X_\pm, Y_\pm\}$ позволяют нам перемещаться между состояниями $SL(2, \mathbb{C})$ -мультиплета, сдвигая собственные значения m и \dot{m} любого кет-вектора $\left| l, \dot{l}; m, \dot{m} \right\rangle$ на величину, которая задаётся корнями α_1 и α_2 этого генератора Вейля относительно генераторов Картана X_3 и Y_3 :

$$\mathbf{E}_\alpha \left| l, \dot{l}; m, \dot{m} \right\rangle \longrightarrow \left| l, \dot{l}; m + \alpha_1, \dot{m} + \alpha_2 \right\rangle.$$

В качестве примера рассмотрим действие генератора X_+ на состояние $\left| l, \dot{l}; m, \dot{m} \right\rangle$. В силу $[\mathbf{H}_i, \mathbf{E}_\alpha] = \alpha_i \mathbf{E}_\alpha$, (6) и (9) получим

$$\begin{aligned} X_3 X_+ \left| l, \dot{l}; m, \dot{m} \right\rangle &= ([X_3, X_+] + X_+ X_3) \left| l, \dot{l}; m, \dot{m} \right\rangle \\ &= (X_+ + m X_+) \left| l, \dot{l}; m, \dot{m} \right\rangle \\ &= (m + 1) X_+ \left| l, \dot{l}; m, \dot{m} \right\rangle. \end{aligned}$$

Таким образом, X_+ повышает собственное значение m на величину $+1$, которая равна корню генератора X_+ относительно генератора Картана X_3 согласно (6). Аналогично, используя (10), получим

$$\begin{aligned} Y_3 X_+ \left| l, \dot{l}; m, \dot{m} \right\rangle &= ([Y_3, X_+] + X_+ Y_3) \left| l, \dot{l}; m, \dot{m} \right\rangle \\ &= (0 + \dot{m} X_+) \left| l, \dot{l}; m, \dot{m} \right\rangle \\ &= \dot{m} X_+ \left| l, \dot{l}; m, \dot{m} \right\rangle, \end{aligned}$$

где генератор X_+ оставляет собственное значение \dot{m} неизменным. Следовательно,

$$X_+ \left| l, \dot{l}; m, \dot{m} \right\rangle \longrightarrow \left| l, \dot{l}; m + 1, \dot{m} \right\rangle.$$

Действия остальных трёх генераторов Вейля определяются аналогично:

$$X_- \left| l, \dot{l}; m, \dot{m} \right\rangle \longrightarrow \left| l, \dot{l}; m - 1, \dot{m} \right\rangle,$$

$$Y_+ \left| l, \dot{l}; m, \dot{m} \right\rangle \longrightarrow \left| l, \dot{l}; m, \dot{m} + 1 \right\rangle,$$

$$Y_- \left| l, \dot{l}; m, \dot{m} \right\rangle \longrightarrow \left| l, \dot{l}; m, \dot{m} - 1 \right\rangle.$$

Покажем графически действия генераторов \mathbf{E}_α на *корневой диаграмме*. С этой целью возьмём корни α_1 и α_2 каждого элемента Вейля \mathbf{E}_α в качестве компонент двумерного *корневого вектора* $\alpha = (\alpha_1, \alpha_2)$ и поместим их в двумерное *весовое пространство*, образованное плоскостью (X_3, Y_3) . Это даёт корневую диаграмму алгебры Ли $\mathfrak{sl}(2, \mathbb{C})$, как показано на рис. 1, где для простоты мы обозначили различные корневые векторы α соответствующим символом генератора Вейля \mathbf{E}_α .

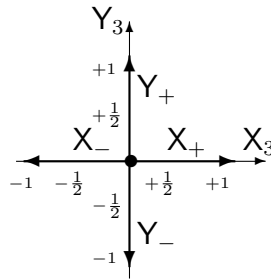


Рис. 1. Корневая диаграмма алгебры Ли $\mathfrak{sl}(2, \mathbb{C})$. Действие каждого генератора Вейля показано в (X_3, Y_3) -плоскости

Очевидно, что генераторы X_- и X_+ (корни $\alpha_1 = -1$, $\alpha_2 = +1$) позволяют перемещаться на один шаг *влево* и *вправо* соответственно, в то время как перемещения *вверх* и *вниз* задаются генераторами Y_+ и Y_- . Таким образом, состояния $SL(2, \mathbb{C})$ -мультиплета переводятся друг в друга посредством повторного действия этих лестничных операторов. С генераторами алгебры $\mathfrak{sl}(2, \mathbb{C})$, расположенными на рис. 1, сразу становится очевидным, что они соответствуют двум разным многообразиям: генераторы X_3, X_+ и X_- (образующие первую подалгебру $\mathfrak{su}(2)$ в (3)) соответствуют многообразию $(1, 0)$, тогда как генераторы Y_3, Y_+ и Y_- (вторая подалгебра $i\mathfrak{su}(2)$), как видно, образуют многообразие $(0, 1)$ на весовой диаграмме. Диаграммы Вейля для первых трёх $SL(2, \mathbb{C})$ -мультиплетов показаны на рис. 2.

Расширенная диаграмма Вейля для (l, \dot{l}) -многообразия представлена на рис. 3. С каждым узлом весовой диаграммы ассоциирована массовая формула [12]

$$m = 2m_e \left(l + \frac{1}{2} \right) \left(\dot{l} + \frac{1}{2} \right), \quad (11)$$

где m_e – масса покоя электрона. Формула (11) описывает спектр масс элементарных частиц с точностью до 0,41 % (см. [13–16]). Решения релятивистских волновых уравнений [17–19] для произвольных спиновых цепочек $((l, \dot{l})$ -многообразий весовой диаграммы на рис. 3) определяются в виде рядов по гиперсферическим функциям на группе Лоренца [11].

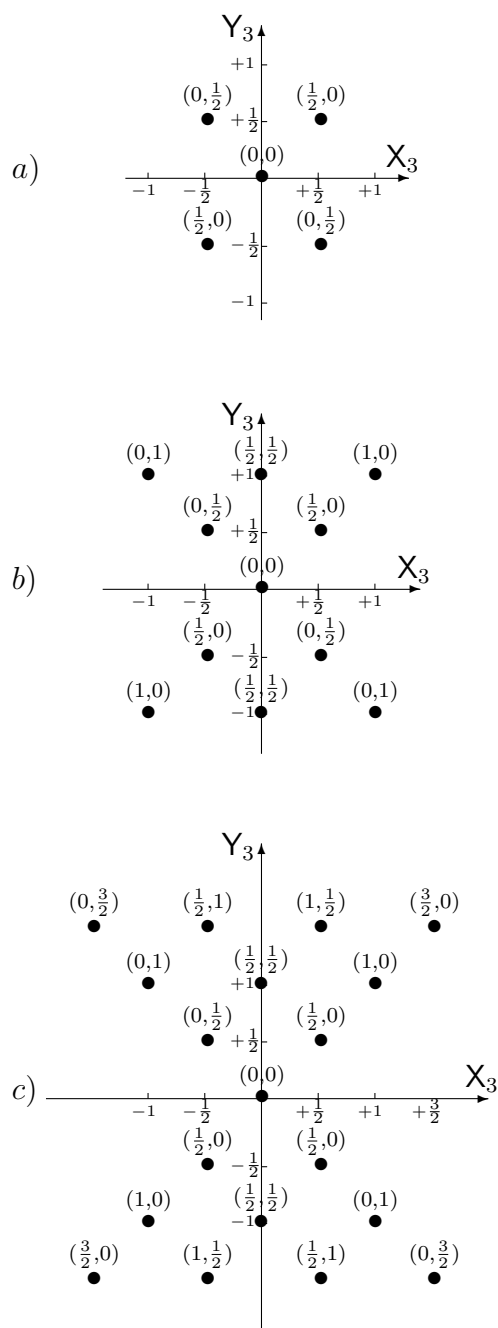


Рис. 2. Первые три весовые диаграммы (диаграммы Вейля) алгебры Ли $\mathfrak{sl}(2, \mathbb{C})$:
 а) $(\frac{1}{2}, \frac{1}{2})$ -мультиплет; б) $(1, 1)$ -мультиплет; в) $(\frac{3}{2}, \frac{3}{2})$ -мультиплет

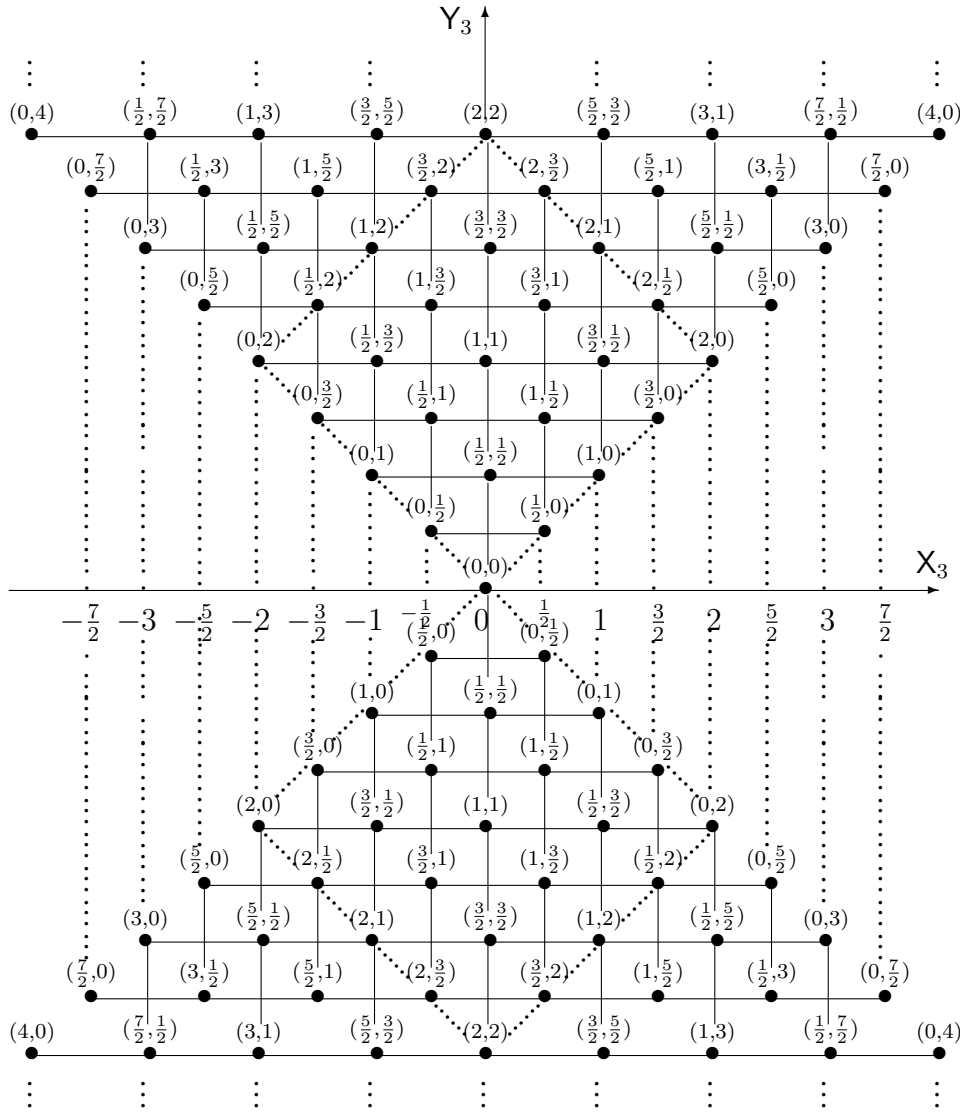


Рис. 3. Расширенная диаграмма Вейля алгебры $\mathfrak{sl}(2, \mathbb{C})$. С каждым узлом (l, l') диаграммы ассоциировано состояние, масса которого определяется формулой (11)

3. Подалгебра $\mathfrak{so}(4)$

Для каждого генератора подалгебры $\mathfrak{K} \subset \mathfrak{so}(4, 2)$ существуют шесть генераторов, которые не имеют с ним общих индексов. Например, для \mathbf{L}_{56} (Δ_3) этими генераторами являются \mathbf{L}_{12} , \mathbf{L}_{23} , \mathbf{L}_{31} , \mathbf{L}_{14} , \mathbf{L}_{24} и \mathbf{L}_{34} . В силу перестановочных соотношений для алгебры Ли $\mathfrak{so}(4, 2)$ (см. формулу (6) в [5]) все эти генераторы коммутируют с \mathbf{L}_{56} и, следовательно, могут быть позиционированы в горизонтальной плоскости корневой диаграммы алгебры $\mathfrak{so}(4, 2)$. Они соответствуют компонентам L_i и A_i вектора углового момента \mathbf{L} и вектора Лапласа–Рунге–Ленца \mathbf{A} .

Вводя линейные комбинации

$$\mathbf{K}_1 = 1/2 (\mathbf{L}_{23} + \mathbf{L}_{14}), \quad \mathbf{K}_2 = 1/2 (\mathbf{L}_{31} + \mathbf{L}_{24}), \quad \mathbf{K}_3 = 1/2 (\mathbf{L}_{12} + \mathbf{L}_{34}), \quad (12)$$

$$\mathbf{J}_1 = 1/2 (\mathbf{L}_{23} - \mathbf{L}_{14}), \quad \mathbf{J}_2 = 1/2 (\mathbf{L}_{31} - \mathbf{L}_{24}), \quad \mathbf{J}_3 = 1/2 (\mathbf{L}_{12} - \mathbf{L}_{34}) \quad (13)$$

(см. генераторы (8) и (9) базиса Яо в [5]), получим

$$[\mathbf{K}, \mathbf{J}] = 0,$$

а также

$$[\mathbf{K}_i, \mathbf{K}_j] = i\varepsilon_{ijk}\mathbf{K}_k, \quad [\mathbf{J}_i, \mathbf{J}_j] = i\varepsilon_{ijk}\mathbf{J}_k.$$

Откуда следует, что генераторы \mathbf{K} и \mathbf{J} образуют базисы двух независимых алгебр $\mathfrak{so}(3)$. Таким образом, алгебра Ли $\mathfrak{so}(4)$ группы $SO(4)$ изоморфна прямой сумме

$$\mathfrak{so}(4) \simeq \mathfrak{su}(2) \oplus \mathfrak{su}(2). \quad (14)$$

Соответственно, это значит, что группа $SO(4)$ изоморфна прямому произведению $SO(3) \otimes SO(3)$.

Легко видеть, что генераторы \mathbf{K}_3 и \mathbf{J}_3 образуют подалгебру Картана алгебры Ли $\mathfrak{so}(4)$, $\mathfrak{K}_{\mathfrak{so}(4)} = \{\mathbf{K}_3, \mathbf{J}_3\}$. Из оставшихся генераторов в (12), (13) составим четыре генератора Вейля

$$\begin{aligned} \mathbf{K}_+ &= \mathbf{K}_1 + i\mathbf{K}_2, & \mathbf{K}_- &= \mathbf{K}_1 - i\mathbf{K}_2, \\ \mathbf{J}_+ &= \mathbf{J}_1 + i\mathbf{J}_2, & \mathbf{J}_- &= \mathbf{J}_1 - i\mathbf{J}_2, \end{aligned}$$

Тогда базис Картана–Вейля подалгебры $\mathfrak{so}(4)$ примет вид

$$\{\mathbf{K}_3, \mathbf{J}_3, \mathbf{K}_+, \mathbf{K}_-, \mathbf{J}_+, \mathbf{J}_-\}. \quad (15)$$

Генераторы базиса (15) удовлетворяют соотношениям

$$\begin{aligned} [\mathbf{K}_3, \mathbf{K}_+] &= \mathbf{K}_+, & [\mathbf{K}_3, \mathbf{K}_-] &= -\mathbf{K}_-, & [\mathbf{K}_+, \mathbf{K}_-] &= 2\mathbf{K}_3, \\ [\mathbf{J}_3, \mathbf{J}_+] &= \mathbf{J}_+, & [\mathbf{J}_3, \mathbf{J}_-] &= -\mathbf{J}_-, & [\mathbf{J}_+, \mathbf{J}_-] &= 2\mathbf{J}_3, \\ [\mathbf{K}_i, \mathbf{J}_j] &= 0 \quad (i, j = +, -, 3). \end{aligned} \quad (16)$$

Из соотношений (16) следует, что корневая структура генераторов \mathbf{K}_{\pm} и \mathbf{J}_{\pm} аналогична корневой структуре генераторов Вейля X_{\pm} и Y_{\pm} подалгебры $\mathfrak{sl}(2, \mathbb{C})$. Корневая диаграмма подалгебры $\mathfrak{so}(4)$ представлена на рис. 4. Соответствующая весовая

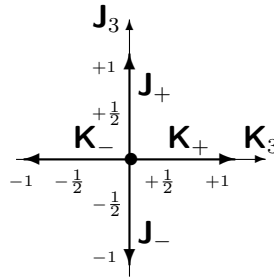


Рис. 4. Корневая диаграмма алгебры Ли $\mathfrak{so}(4)$. Действие каждого генератора Вейля показано в $(\mathbf{K}_3, \mathbf{J}_3)$ -плоскости

диаграмма аналогична диаграмме на рис. 3 с заменой генераторов Картана X_3 и Y_3 на \mathbf{K}_3 и \mathbf{J}_3 .

4. Подалгебра $\mathfrak{so}(2, 2)$

Для следующего генератора \mathbf{L}_{34} (A_3), входящего в подалгебру $\mathfrak{K} \subset \mathfrak{so}(4, 2)$, имеем шесть генераторов $\mathbf{L}_{12}, \mathbf{L}_{15}, \mathbf{L}_{25}, \mathbf{L}_{16}, \mathbf{L}_{26}, \mathbf{L}_{56}$, у которых нет с \mathbf{L}_{34} общих индексов. Эти генераторы соответствуют «водородным операторам» $L_3, B_1, B_2, \Gamma_1, \Gamma_2, \Delta_3$ и тем самым могут быть позиционированы в плоскости (L_3, Δ_3) . Эти шесть генераторов образуют линейные комбинации базиса Яо:

$$\mathbf{T}_1 = 1/2(-\mathbf{L}_{15} - \mathbf{L}_{26}), \quad \mathbf{T}_2 = 1/2(\mathbf{L}_{25} - \mathbf{L}_{16}), \quad \mathbf{T}_0 = 1/2(-\mathbf{L}_{12} - \mathbf{L}_{56}), \quad (17)$$

$$\mathbf{S}_1 = 1/2(-\mathbf{L}_{15} + \mathbf{L}_{26}), \quad \mathbf{S}_2 = 1/2(-\mathbf{L}_{25} - \mathbf{L}_{16}), \quad \mathbf{S}_0 = 1/2(\mathbf{L}_{12} - \mathbf{L}_{56}) \quad (18)$$

(см. формулы (10) и (11) в [5]). Легко видеть, что компоненты генераторов \mathbf{T} и \mathbf{S} взаимно коммутируют,

$$[\mathbf{T}, \mathbf{S}] = 0. \quad (19)$$

При этом компоненты \mathbf{T} образуют алгебру Ли $\mathfrak{so}(2, 1)$:

$$[\mathbf{T}_1, \mathbf{T}_2] = i\mathbf{T}_0, \quad [\mathbf{T}_2, \mathbf{T}_0] = -i\mathbf{T}_1, \quad [\mathbf{T}_0, \mathbf{T}_1] = -i\mathbf{T}_2.$$

Аналогично для \mathbf{S} :

$$[\mathbf{S}_1, \mathbf{S}_2] = i\mathbf{S}_0, \quad [\mathbf{S}_2, \mathbf{S}_0] = -i\mathbf{S}_1, \quad [\mathbf{S}_0, \mathbf{S}_1] = -i\mathbf{S}_2.$$

В силу (19) обе алгебры полностью разделены. По аналогии с алгеброй $\mathfrak{so}(4)$ (плоскость (L_3, A_3)), которая допускает разложение в прямую сумму двух алгебр $\mathfrak{su}(2)$, в данном случае получим алгебру Ли $\mathfrak{so}(2, 2)$, которая локально изоморфна прямой сумме двух алгебр $\mathfrak{so}(2, 1)$:

$$\mathfrak{so}(2, 2) \simeq \mathfrak{so}(2, 1) \oplus \mathfrak{so}(2, 1).$$

В силу этой аналогии корневая диаграмма для алгебры $\mathfrak{so}(2, 2)$ будет подобна диаграмме для $\mathfrak{so}(4)$ на рис. 4. Далее, два коммутирующих генератора \mathbf{T}_0 и \mathbf{S}_0 могут быть взяты в качестве базиса $\{\mathbf{T}_0, \mathbf{S}_0\}$ для подалгебры Картана $\mathfrak{K} \subset \mathfrak{so}(2, 2)$. Из оставшихся генераторов $\mathbf{T}_1, \mathbf{T}_2, \mathbf{S}_1$ и \mathbf{S}_2 сформируем следующие линейные комбинации:

$$\mathbf{T}_+ = \mathbf{T}_1 + i\mathbf{T}_2, \quad \mathbf{T}_- = \mathbf{T}_1 - i\mathbf{T}_2,$$

$$\mathbf{S}_+ = \mathbf{S}_1 + i\mathbf{S}_2, \quad \mathbf{S}_- = \mathbf{S}_1 - i\mathbf{S}_2,$$

которые образуют линейно независимое множество *генераторов Вейля* алгебры $\mathfrak{so}(2, 2)$. Таким образом, базис Картана–Вейля подалгебры $\mathfrak{so}(2, 2)$ имеет вид

$$\{\mathbf{T}_0, \mathbf{S}_0, \mathbf{T}_+, \mathbf{T}_-, \mathbf{S}_+, \mathbf{S}_-\}. \quad (20)$$

Генераторы базиса (20) удовлетворяют соотношениям

$$[\mathbf{T}_0, \mathbf{T}_+] = -\mathbf{T}_+, \quad [\mathbf{T}_0, \mathbf{T}_-] = \mathbf{T}_-, \quad [\mathbf{T}_+, \mathbf{T}_-] = -2\mathbf{T}_0,$$

$$[\mathbf{S}_0, \mathbf{S}_+] = -\mathbf{S}_+, \quad [\mathbf{S}_0, \mathbf{S}_-] = \mathbf{S}_-, \quad [\mathbf{S}_+, \mathbf{S}_-] = -2\mathbf{S}_0,$$

$$[\mathbf{T}_i, \mathbf{S}_j] = 0 \quad (i, j = +, -, 0).$$

Корни генераторов Вейля $\mathbf{T}_\pm, \mathbf{S}_\pm$ образуют компоненты 2-мерного корневого вектора $\alpha = (\alpha_1, \alpha_2)$, который может быть позиционирован в 2-мерном весовом пространстве, образованном плоскостью $(\mathbf{T}_0, \mathbf{S}_0)$. Для данной реализации подалгебры $\mathfrak{so}(2, 2)$ корневые векторы имеют вид

$$\alpha(\mathbf{T}_+) = (1, 0), \quad \alpha(\mathbf{T}_-) = (-1, 0),$$

$$\alpha(\mathbf{S}_+) = (0, 1), \quad \alpha(\mathbf{S}_-) = (0, -1).$$

Легко видеть, что корневая и весовая диаграммы алгебры $\mathfrak{so}(2, 2)$ аналогичны соответствующим диаграммам алгебр $\mathfrak{sl}(2, \mathbb{C})$ и $\mathfrak{so}(4)$ (см. рис. 1–4).

В свою очередь, с \mathbf{L}_{12} (\mathbf{L}_3) не имеют общих индексов следующие элементы: $\mathbf{L}_{34}, \mathbf{L}_{35}, \mathbf{L}_{36}, \mathbf{L}_{45}, \mathbf{L}_{46}$ и \mathbf{L}_{56} , соответствующие генераторам $A_3, B_3, \Gamma_3, \Delta_2, \Delta_1$ и Δ_3 . Поскольку все эти генераторы коммутируют с \mathbf{L}_3 , все они могут быть позиционированы в (A_3, Δ_3) -плоскости. Эти генераторы образуют линейные комбинации

$$\mathbf{P}_1 = 1/2(-\mathbf{L}_{35} - \mathbf{L}_{46}), \quad \mathbf{P}_2 = 1/2(\mathbf{L}_{45} - \mathbf{L}_{36}), \quad \mathbf{P}_0 = 1/2(-\mathbf{L}_{34} - \mathbf{L}_{56}), \quad (21)$$

$$\mathbf{Q}_1 = 1/2(\mathbf{L}_{35} - \mathbf{L}_{46}), \quad \mathbf{Q}_2 = 1/2(\mathbf{L}_{45} + \mathbf{L}_{36}), \quad \mathbf{Q}_0 = 1/2(\mathbf{L}_{34} - \mathbf{L}_{56}) \quad (22)$$

(см. генераторы (12) и (13) базиса Яо в [5]). Легко проверить, что

$$[\mathbf{P}_1, \mathbf{P}_2] = i\mathbf{P}_0, \quad [\mathbf{P}_2, \mathbf{P}_0] = -i\mathbf{P}_1, \quad [\mathbf{P}_0, \mathbf{P}_1] = -i\mathbf{P}_2,$$

$$[\mathbf{Q}_1, \mathbf{Q}_2] = i\mathbf{Q}_0, \quad [\mathbf{Q}_2, \mathbf{Q}_0] = -i\mathbf{Q}_1, \quad [\mathbf{Q}_0, \mathbf{Q}_1] = -i\mathbf{Q}_2,$$

$$[\mathbf{P}_i, \mathbf{Q}_j] = 0 \quad (i, j = 0, 1, 2).$$

Отсюда следует, что генераторы \mathbf{P}_i и \mathbf{Q}_i взаимно коммутируют и образуют две независимые алгебры Ли $\mathfrak{so}(2, 1)$. Как и в предыдущем случае (плоскость (\mathbf{L}_3, Δ_3)), имеем изоморфизм $\mathfrak{so}(2, 2) \simeq \mathfrak{so}(2, 1) \oplus \mathfrak{so}(2, 1)$. В свою очередь, для плоскости (A_3, Δ_3) имеем два генератора Картана \mathbf{P}_0 и \mathbf{Q}_0 , образующих базис $\{\mathbf{P}_0, \mathbf{Q}_0\}$ подалгебры $\mathfrak{K} \subset \mathfrak{so}(2, 2)$.

Далее, из оставшихся генераторов $\mathbf{P}_1, \mathbf{P}_2, \mathbf{Q}_1$ и \mathbf{Q}_2 образуем следующие линейные комбинации:

$$\mathbf{P}_+ = \mathbf{P}_1 + i\mathbf{P}_2, \quad \mathbf{P}_- = \mathbf{P}_1 - i\mathbf{P}_2,$$

$$\mathbf{Q}_+ = \mathbf{Q}_1 + i\mathbf{Q}_2, \quad \mathbf{Q}_- = \mathbf{Q}_1 - i\mathbf{Q}_2,$$

определяющие генераторы Вейля для данной реализации алгебры $\mathfrak{so}(2, 2)$ (плоскость (A_3, Δ_3)). Базис Картана–Вейля в этом случае имеет вид

$$\{\mathbf{P}_0, \mathbf{Q}_0, \mathbf{P}_+, \mathbf{P}_-, \mathbf{Q}_+, \mathbf{Q}_-\}. \quad (23)$$

Как и в предыдущем случае, генераторы базиса (23) удовлетворяют соотношениям

$$[\mathbf{P}_0, \mathbf{P}_+] = -\mathbf{P}_+, \quad [\mathbf{P}_0, \mathbf{P}_-] = \mathbf{P}_-, \quad [\mathbf{P}_+, \mathbf{T}_-] = -2\mathbf{P}_0,$$

$$[\mathbf{Q}_0, \mathbf{Q}_+] = -\mathbf{Q}_+, \quad [\mathbf{Q}_0, \mathbf{Q}_-] = \mathbf{Q}_-, \quad [\mathbf{Q}_+, \mathbf{Q}_-] = -2\mathbf{Q}_0,$$

$$[\mathbf{P}_i, \mathbf{Q}_j] = 0 \quad (i, j = +, -, 0).$$

Откуда для корневых векторов в плоскости $(\mathbf{P}_0, \mathbf{Q}_0)$ получим

$$\alpha(\mathbf{P}_+) = (1, 0), \quad \alpha(\mathbf{P}_-) = (-1, 0),$$

$$\alpha(\mathbf{Q}_+) = (0, 1), \quad \alpha(\mathbf{Q}_-) = (0, -1).$$

Соответствующая корневая структура тождественна предыдущей реализации алгебры $\mathfrak{so}(2, 2)$ с заменой генераторов $\mathbf{T}_0, \mathbf{S}_0, \mathbf{T}_\pm, \mathbf{S}_\pm$ на $\mathbf{P}_0, \mathbf{Q}_0, \mathbf{P}_\pm, \mathbf{Q}_\pm$.

5. Корневая диаграмма алгебры $\mathfrak{so}(4, 2)$

Проведённый выше анализ корневой структуры подалгебр $\mathfrak{so}(4)$ и $\mathfrak{so}(2, 2)$ алгебры $\mathfrak{so}(4, 2)$ в каждой из ортогональных плоскостей (L_3, A_3) , (L_3, Δ_3) и (A_3, Δ_3) позволяет теперь собрать вместе все результаты и построить *корневую диаграмму* для алгебры $\mathfrak{so}(4, 2)$.

Полное число генераторов подалгебр $\mathfrak{so}(4)$ и $\mathfrak{so}(2, 2)$ равно 18. Однако генераторы $\mathbf{K}_3, \mathbf{J}_3, \mathbf{T}_0, \mathbf{S}_0, \mathbf{P}_0$ и \mathbf{Q}_0 не являются линейно независимыми, поскольку удовлетворяют соотношениям

$$\mathbf{J}_3 - \mathbf{K}_3 = \mathbf{P}_0 - \mathbf{Q}_0, \quad \mathbf{J}_3 + \mathbf{K}_3 = \mathbf{S}_0 - \mathbf{T}_0, \quad \mathbf{P}_0 + \mathbf{Q}_0 = \mathbf{S}_0 + \mathbf{T}_0. \quad (24)$$

Следовательно, совокупность 18 генераторов задаёт избыточную систему, из которой можно получить базис алгебры $\mathfrak{so}(4, 2)$, исключив три генератора L_3, A_3, Δ_3 с помощью (24). Это сводит число генераторов до 15, как и должно быть для алгебры $\mathfrak{so}(4, 2)$.

Как уже отмечалось выше, три коммутирующих генератора L_3, A_3 и Δ_3 являются *генераторами Картана* подалгебры $\mathfrak{K} \subset \mathfrak{so}(4, 2)$, $\mathfrak{K} = \{L_3, A_3, \Delta_3\}$. Они образуют базис трёхмерной ортогональной системы и располагаются в начале координат корневой диаграммы. Наряду с оставшимися 12 *генераторами Вейля* $\mathbf{K}_\pm, \mathbf{J}_\pm, \mathbf{T}_\pm, \mathbf{S}_\pm, \mathbf{P}_\pm, \mathbf{Q}_\pm$ они образуют *базис Картана–Вейля* для алгебры $\mathfrak{so}(4, 2)$:

$$\{L_3, A_3, \Delta_3, \mathbf{K}_+, \mathbf{K}_-, \mathbf{J}_+, \mathbf{J}_-, \mathbf{T}_+, \mathbf{T}_-, \mathbf{S}_+, \mathbf{S}_-, \mathbf{P}_+, \mathbf{P}_-, \mathbf{Q}_+, \mathbf{Q}_-\}.$$

Пусть общими символами \mathbf{H}_i ($i = 1 \rightarrow 3$) и \mathbf{E}_α ($\alpha = 1 \rightarrow 12$) обозначены различные генераторы Картана и Вейля алгебры $\mathfrak{so}(4, 2)$. В порядке расположения различных генераторов \mathbf{E}_α на корневой диаграмме *корни* α_i каждого \mathbf{E}_i должны определяться относительно трёх генераторов Картана согласно общему определению

$$[\mathbf{H}_i, \mathbf{E}_\alpha] = \alpha_i \mathbf{E}_\alpha, \quad \forall i = 1, 2; \quad \alpha = 1 \rightarrow 4.$$

В предыдущих параграфах корни определялись относительно $\mathbf{K}_3, \mathbf{J}_3, \mathbf{T}_0, \mathbf{S}_0$ и $\mathbf{P}_0, \mathbf{Q}_0$, а не относительно L_3, A_3 и Δ_3 . Следовательно, новые *корневые векторы* имеют вид

$$\alpha(\mathbf{K}_+) = (+1, +1, 0), \quad \alpha(\mathbf{S}_+) = (+1, 0, +1), \quad \alpha(\mathbf{P}_+) = (0, +1, +1),$$

$$\alpha(\mathbf{K}_-) = (-1, -1, 0), \quad \alpha(\mathbf{S}_-) = (-1, 0, -1), \quad \alpha(\mathbf{P}_-) = (0, -1, -1),$$

$$\begin{aligned} \alpha(\mathbf{J}_+) &= (+1, -1, 0), & \alpha(\mathbf{T}_+) &= (+1, 0, -1), & \alpha(\mathbf{Q}_+) &= (0, +1, -1), \\ \alpha(\mathbf{J}_-) &= (-1, +1, 0), & \alpha(\mathbf{T}_-) &= (-1, 0, +1), & \alpha(\mathbf{Q}_-) &= (0, -1, +1), \\ \alpha(\mathbf{L}_3) &= (0, 0, 0), & \alpha(\mathbf{A}_3) &= (0, 0, 0), & \alpha(\Delta_3) &= (0, 0, 0). \end{aligned}$$

Очевидно, что четыре генератора $\mathbf{K}_+, \mathbf{K}_-, \mathbf{J}_+, \mathbf{J}_-$ приводят к корневой диаграмме алгебры $\mathfrak{so}(4)$ с вершинными точками $(\pm 1, \pm 1)$ в (L_3, A_3) -плоскости (соответственно $(\mathbf{K}_3, \mathbf{J}_3)$ -плоскости). Аналогично генераторы $\mathbf{T}_+, \mathbf{T}_-, \mathbf{S}_+, \mathbf{S}_-$ и $\mathbf{P}_+, \mathbf{P}_-, \mathbf{Q}_+, \mathbf{Q}_-$ приводят к подобным корневым диаграммам алгебр $\mathfrak{so}(2, 2)$ в плоскостях (L_3, Δ_3) (соответственно $(\mathbf{T}_0, \mathbf{S}_0)$) и (A_3, Δ_3) (соответственно $(\mathbf{P}_0, \mathbf{Q}_0)$).

Таким образом, представление 15 генераторов на корневой диаграмме алгебры $\mathfrak{so}(4, 2)$ состоит из трёх генераторов Картана и трёх квадратов в трёх перпендикулярных плоскостях, образованных генераторами Вейля. На Рис. 5 для наглядности вершины этих трёх квадратов совмещены с осями $\mathbf{X} = \mathbf{K}_3 - \mathbf{T}_0 + \mathbf{P}_0 \rightarrow L_3$, $\mathbf{Y} = -\mathbf{J}_3 - \mathbf{P}_0 + \mathbf{S}_0 \rightarrow A_3$, $\mathbf{Z} = -\mathbf{S}_0 - \mathbf{Q}_0 + \mathbf{K}_3 \rightarrow \Delta_3$. При повороте на 45° относительно друг друга эти вершины (генераторы Вейля) образуют кубоктаэдр (см. [7, 20]).

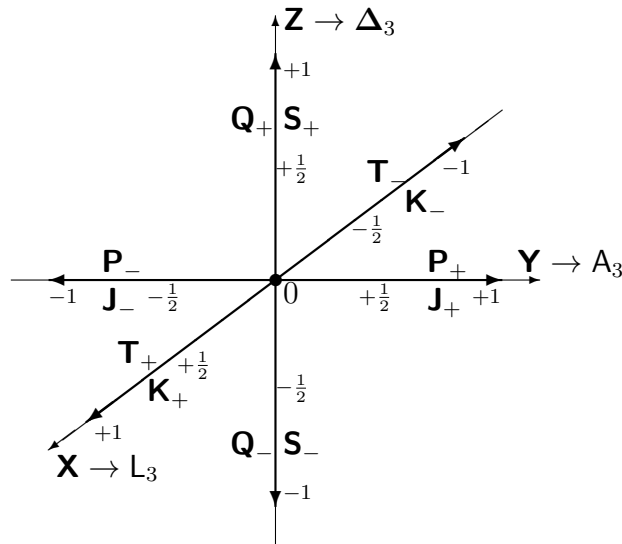
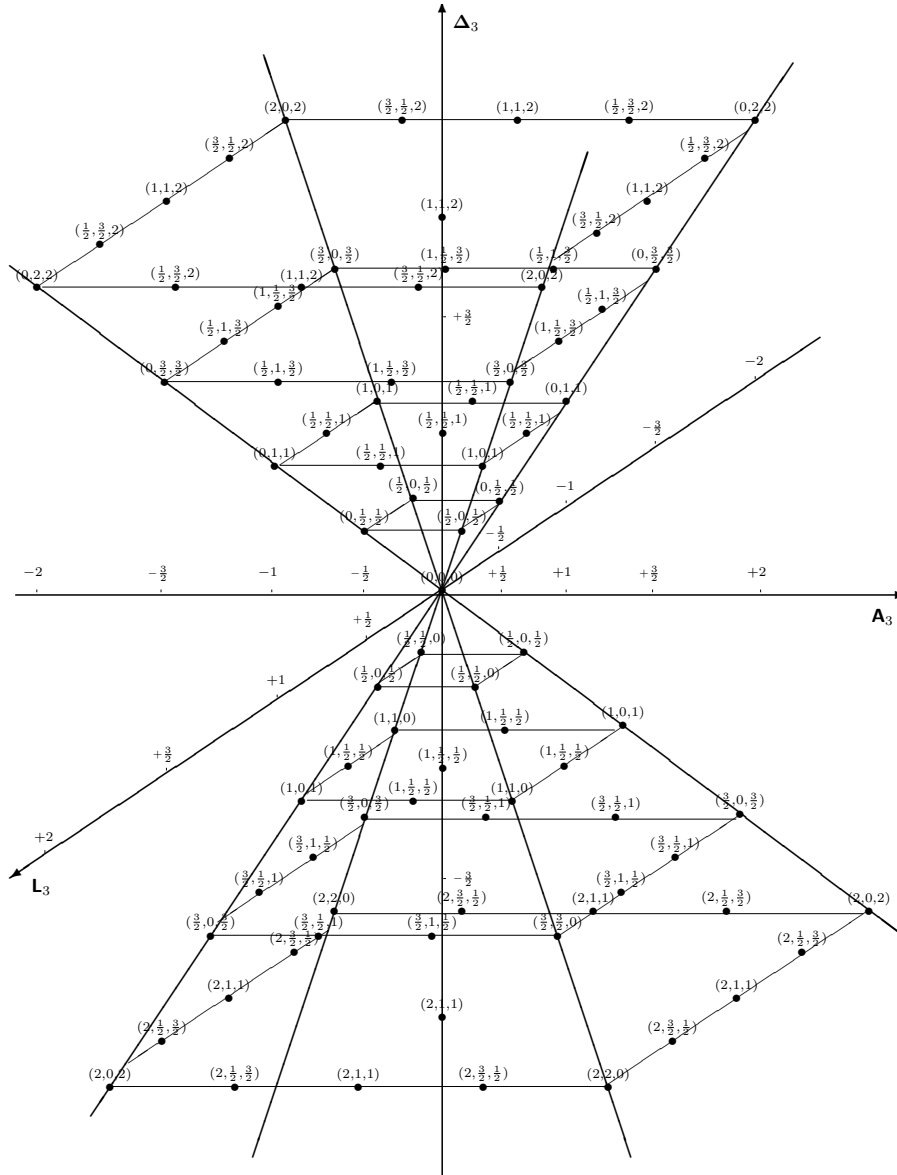


Рис. 5. Корневая диаграмма алгебры Ли $\mathfrak{so}(4, 2)$

6. Весовая диаграмма алгебры $\mathfrak{so}(4, 2)$

Перейдём к построению *весовой диаграммы* алгебры $\mathfrak{so}(4, 2)$. Весовое пространство определяется тремя генераторами Картана L_3, A_3 и Δ_3 , которые служат базисом трёхмерной ортогональной системы координат. Горизонтальная плоскость, образованная генераторами L_3 и A_3 , включает различные $SO(4)$ -многообразия. В п. 3 эти многообразия определяются относительно генераторов \mathbf{K}_3 и \mathbf{J}_3 , которые в настоящей диаграмме соответствуют диагональным направлениям в силу их определения, следующего из (12), (13):

$$\mathbf{K}_3 = \frac{1}{2} (L_3 + A_3), \quad \mathbf{J}_3 = \frac{1}{2} (L_3 - A_3).$$

Рис. 6. Весовая диаграммы алгебры Ли $\mathfrak{so}(4, 2)$

Вертикальное направление, образованное собственными значениями оператора Δ_3 , добавляет к многообразию радиальный лестничный оператор.

Графическое изображение весовой диаграммы, показанное на рис. 6, напоминает четырёхгранную пирамиду, перевернутую вверх ногами и отражённую от плоскости (L_3, A_3) . Эту конструкцию будем называть $SO(4, 2)$ -*башней*. Каждый заданный этаж $SO(4, 2)$ -башни характеризуется главным квантовым числом n . Горизонтальные полосы (этажи) соответствуют различным l -подоболочкам, а точки являются индивидуальными m -компонентами (конечномерными представлениями группы $SO(4, 2)$). Проекцией четырёхгранной пирамиды, изображённой на рис. 6, на плоскость (L_3, A_3) является конус представлений группы $SO(4)$ (весовая диаграмма алгебры $\mathfrak{so}(4)$). В свою очередь, проекции $SO(4, 2)$ -башни на плоскости (L_3, Δ_3) и (A_3, Δ_3) приводят к весовым диаграммам для подалгебр $\mathfrak{so}(2, 2)$. Конечномерные

представления $\tau_{l,i,n}$ группы $SO(4, 2)$ реализуются в симметрических пространствах $\text{Sym}_{(k,r,p)}$ размерности

$$\dim \text{Sym}_{(k,r,p)} = (k + 1)(r + 1)(p + 1).$$

С каждым узлом весовой диаграммы на рис. 6 ассоциирована следующая массовая формула:

$$m = 2m_{\text{H}} \left(l + \frac{1}{2} \right) \left(i + \frac{1}{2} \right) \left(\nu + \frac{1}{2} \right), \quad (25)$$

где m_{H} – относительная атомная масса водорода. Вывод формулы (25) аналогичен выводу массовой формулы (11), см. [15, 16], которая является частным случаем (25) при $\nu = 0$ и $m_{\text{H}} \rightarrow m_e$, т. е. при редукции конформной группы $SO(4, 2)$ к её подгруппе Лоренца $SO(3, 1)$.

Литература

1. Варламов В.В. Теоретико-групповое описание периодической системы элементов // Математические структуры и моделирование. 2018. № 2 (46). С. 5–23.
2. Варламов В.В. Теоретико-групповое описание периодической системы элементов. II: Таблица Сиборга // Математические структуры и моделирование. 2019. № 1 (49). С. 5–21.
3. Варламов В.В. Теоретико-групповое описание периодической системы элементов. III: 10-периодическое расширение // Математические структуры и моделирование. 2019. № 3 (51). С. 5–20.
4. Varlamov V.V., Pavlova L.D, Babushkina O.S. Group Theoretical Description of the Periodic System // Symmetry. 2022. Vol. 14. Art. 137.
5. Варламов В.В. Теоретико-групповое описание периодической системы элементов. IV: Групповая алгебра // Математические структуры и моделирование. 2024. № 1 (69). С. 18–31.
6. Humphreys J. Introduction to Lie Algebras and Representation Theory. New York; Berlin: Springer, 1978.
7. Hall B. Lie Groups, Lie Algebras, and Representations. New York; Berlin: Springer, 2015.
8. Barut A.O. Group Structure of the Periodic System // The Structure of Matter: Rutherford Centennial Symposium / Ed. by B.G. Wybourne. Christchurch, New Zeland: University of Canterbury Press, 1972. P. 126–136.
9. Yao T. Unitary Irreducible Representations of $SU(2,2)$. I // Journal of Mathematical Physics. 1967. Vol. 8. P. 1931–1954.
10. Knapp A.W. Representation Theory of Semisimple Groups. Princeton: Princeton University Press, 1986.
11. Varlamov V.V. Relativistic spherical functions on the Lorentz group // Journal of Physics A: Mathematical and General. 2006. Vol. 39. P. 805–822.
12. Varlamov V.V. Spinor Structure and Internal Symmetries // Int. J. Theor. Phys. 2015. Vol. 54. P. 3533–3576.
13. Варламов В.В. Квантование массы и группа Лоренца // Математические структуры и моделирование. 2017. № 2 (42). С. 11–28.

14. Varlamov V.V. Lorentz Group and Mass Spectrum of Elementary Particles // arXiv. 2017. arXiv:1705.02227.
15. Варламов В.В. О квантовании массы // Метафизика. 2023. № 1 (47). С. 115–134.
16. Varlamov V.V. Group Theory and Mass Quantization // arXiv. 2023. arXiv:2311.16175.
17. Varlamov V.V. General Solutions of Relativistic Wave Equations // International Journal of Theoretical Physics. 2003. Vol. 42. P. 583–633.
18. Varlamov V.V. General Solutions of Relativistic Wave Equations II: Arbitrary Spin Chains // International Journal of Theoretical Physics. 2007. Vol. 46. P. 741–805.
19. Varlamov V.V. Spinor Structure and Matter Spectrum // International Journal of Theoretical Physics. 2016. Vol. 55. P. 5008–5045.
20. Thyssen P., Ceulemans A. Shattered Symmetry: Group Theory from the Eightfold Way to the Periodic Table. New York: Oxford University Press, 2017.

**GROUP THEORETICAL DESCRIPTION OF PERIODIC SYSTEM OF ELEMENTS.
V: WEIGHT DIAGRAM**

V.V. Varlamov

Dr.Sc. (Phys.-Math.), e-mail: varlamov@sibsiu.ru

Siberian State Industrial University, Novokuznetsk, Russia

Abstract. The root structure of the subalgebras of the group algebra of a conformal group in the framework of a twofold covering is analyzed. Based on the analysis, the Cartan–Weyl basis of the group algebra is determined. The root and weight diagrams are constructed. A mass formula associated with each node of the weight diagram is introduced.

Keywords: conformal group, group algebra, Lorentz group, Cartan subalgebra, Weyl generators, root structure, weight diagram, mass formula.

Дата поступления в редакцию: 10.04.2024